

Zn₄SnSe₆ 및 Zn₄SnSe₆:Co²⁺ 단결정의 광학적 특성 연구

김남오*, 김형곤*, 김병철*, 김명수*, 오금곤**

* 조선이공대학 전기과, ** 조선대학교 공과대학 전기공학과

Optical properties of undoped and Zn₄SnSe₆ and Zn₄SnSe₆:Co²⁺ Single Crystals

Kim Nam Oh, Kim Hyung Gon, Kim Byung Chul, Kim Myeong Soo, Oh Guem Kon

* Department of Electrical Engineering Cho-Sun University, Kwangju 501-75

*Department of Electricity Chosun College of Science & Technology, Kwangju 501-744

Abstract - Zn₄SnSe₆ and Zn₄SnSe₆:Co²⁺ single crystals were by the chemical transport reaction method. They crystallized in the monoclinic structure. The direct energy band gaps of the Zn₄SnSe₆ and Zn₄SnSe₆:Co²⁺ single crystals at 289K were found to be 2.146eV and 2.042eV. Optical absorption due to impurity in the Zn₄SnSe₆:Co²⁺ single crystal was observed and described as originating from the electron transition between energy levels of Co²⁺ ion sited at T_d symmetry point.

1. 서 론

삼원 화합물 반도체 가운데 II-IV-VI₆(II = Zn, Cd, IV = Si, Ge, Sn, VI = S, Se, Te) 계열의 반도체는 균적 외광에서 고휘도의 형광을 발하기 때문에 Nitsche[1]에 의해 처음으로 단결정 성장과 결정구조해석에 관한 연구가 수행된 후 Cd₄SnSe₆[2], Cd₄GeSe₆[3], Cd₄GeSe₆[4-6] 그리고 Zn₄GeSe₆[7]등의 반도체들의 성장, 광흡수, 광전도[8], 광 발광특성[1,3] 및 전기적 메카니즘에 관한 연구들이 보고되어진 바 있고, 최근에 이러한 II-IV-VI₆반도체에 불순물 Co첨가한 단결정에서 cobalt 이온에 의한 불순물 광흡수 특성이 연구 보고되어지고 있다[2, 9]. 또한, 이런 삼원화합물반도체는 띠 간격이 광범위한 광장 영역에 분포하기 때문에 광전자 소자(optoelectronic device)를 제작하는 경우 용도에 따라서 선택적으로 사용할 수 있어 다방면에서 유망한 전자 재료로 기대되는 광전물질로 알려져 있다.[10] 그러나 균일한 조성을 갖는 양질이 단결정 성장이 어렵기 때문에 많은 연구가 이루어지지 못하고 있다. 또한 본 연구의 대상인 Zn₄SnSe₆ 단결정에 대한 연구는 보고된 바가 없다. 본 연구는 Zn₄SnSe₆ 단결정 및 불순물로 코발트를 첨가한 Zn₄SnSe₆:Co²⁺ 단결정의 기본물을 규명하기 위해서 화학수송법(CTR)으로 성장시켜, X-ray 회절분석으로부터 결정구조를 밝혀내고, 광흡수 특성과 광학적 에너지 갭 및 이형적 온도의존성을 규명하였으며 이로부터 기초적 열역학함수를 추정하였다. 또한 불순물을 첨가한 코발트 이온의 전자상태를 규명하였다.

2. 실험

Zn₄SnSe₆ 및 Zn₄SnSe₆:Co²⁺ 단결정을 성장시키기 위하여 수송매체로서 iodine을 이용한 화학수송법으로 단결정을 성장시켰다. 화학수송법은 Bridgman 방법과 THM (Travelling Heating Method)방법 등에 비해 성장된 단결정 크기는 작지만, 단결정 성장시 ampoule로부터 응력의 영향을 피할 수 있을 뿐만 아니라 깨끗한 결정면을 갖는 단결정을 얻을 수 있어 광학적 특성을 연구하는데 용이하다.

Ampoule로 사용된 석영관은 직경 10mm, 두께 2mm,

길이 400mm인 투명 석영관을 HF에 24시간 동안 유지시킨 후, 중류수로 세척하고 건조시켰다. 건조된 석영관 한쪽 끝을 봉입 석영관내부의 잔류 불순물을 제거하기 위하여 석영관 내부를 2×10^{-6} torr의 진공으로 배기시키면서 석영관 외벽에 약 1000 °C 정도의 열을 가하여 내부의 유기물질을 제거하였다. 이와 같이 깨끗하게 세척된 성장용 투명 석영관에 고순도(99.9999%)의 Zn, Sn, Se를 화학당량비에 맞추어 청량하여 준비된 석영관 내에 넣고, 수송물질로 사용된 iodine(순도 99.99%)과 함께 석영관 내부의 진공을 5×10^{-6} torr로 유지하면서 봉입하여 성장용 ampoule를 만들었다. 이때 수송물질로 사용되는 iodine의 양은 성장된 단결정의 질과 단결정 성장 속도에 크게 영향을 미치므로[11] 이에 적당한 6mg/cm³의 iodine을 사용하였다. 진공 봉입된 ampoule를 성장용 two-zone 수평전기로의 중앙부분에 넣고, 100 °C/h의 속도로 600 °C 까지 승온시켜 24시간동안 유지 후, 다시 100 °C/h의 속도로 1000 °C 까지 승온시켜서 48시간 동안 합성한 후, 단결정 성장 측의 잔류불순물을 제거하기 위하여 시료 출발측의 온도를 600 °C, 결정 성장측의 온도를 800 °C로 하여 다시 24시간동안 유지하였다. 결정 성장측의 잔류불순물을 깨끗이 제거한 후, 단결정을 성장시키기 위하여 시료출발측을 780 °C, 성장측을 680 °C로 하여 7일간 성장시켰다. 성장된 단결정에서 iodine을 제거하기 위하여 출발측의 전원을 차단하고 성장측의 온도를 250°C에서 10시간동안 유지하여 전원을 끊고 실온까지 서냉하였다. 성장된 Zn₄SnSe₄ 및 Zn₄SnSe₄:Co²⁺ 단결정의 조성분석을 EDAX (Energy-Dispersive X-ray Microanalyzer)로 확인하였으며, 화학양론(stoichiometry)을 만족하는 시료만 특성 측정에 이용하였다. 결정구조는 성장된 단결정을 분말로 하여 X-ray diffractometer(XRD, Rigaku, DMAX 2000, Japan)를 사용하여 X선 회절선을 측정하여 구하였다. 사용된 X선은 광장 1.5405 Å인 CuK_α 선이었다. 측정으로부터 얻은 X선 회절무늬를 JCPDS 카드에서 주어진 결정면의 간격과 피크 세기와 비교하여 측정된 회절무늬의 결정면들을 조사하고, Nelson-Rilley의 관계식[12]을 이용하여 격자상수 값을 구하였다. 광흡수 특성 측정용 시편은 성장된 단결정 자연면의 배면을 광학천 위에서 Al₂O₃ 분말(0.2 μm)을 이용하여 두께 250~500 μm 까지 연마하여 광투과 창이 있는 원형 구리판에 부착하여 제작하였다. 에너지 띠 간격은 UV-VIS-NIR spectrophotometer(Hitachi, U-3501)를 사용하여 측정하였다. Cobalt 불순물에 의한 광흡수 특성은 298 K의 온도와 200 ~ 2500 nm의 광장 영역에서 광흡수 스펙트럼을 측정하여 구하였다.

3. 실험결과 고찰

성장된 Zn₄SnSe₆ 및 Zn₄SnSe₆:Co²⁺(0.5mole%) 단결정의 구조를 분말 형태 시료를 XRD (X-ray diffractometer)로 측정한 결과 그림 1에 나타내고 있다. 이 단결정들의

X-ray 회절무늬는 (110), (021), (330), (333)면의 뚜렷한 회절 peak가 나타나고, 이 회절선 peak로부터 구한 결정구조 형태는 monoclinic 구조(space group Cc)이고, 격자상수는 순수한 결정인 Zn_4SnSe_6 단결정에서는 $a = 15.079\text{ \AA}$, $b = 5.544\text{ \AA}$, $c = 14.275\text{ \AA}$ 이고 $\beta = 62.041^\circ$ 였고, 불순물로 cobalt를 첨가한 $Zn_4SnSe_6:Co^{2+}$ (0.5mole%) 단결정인 경우 격자상수는 $a = 14.472\text{ \AA}$, $b = 5.799\text{ \AA}$, $c = 15.550\text{ \AA}$ 이고 $\beta = 62.938^\circ$ 으로 주어졌다. 이들 격자상수 값은 동일 계열의 결정에 대한 Quenez group[5], D. T. Kim[8] 값과 잘 일치하고 있다.

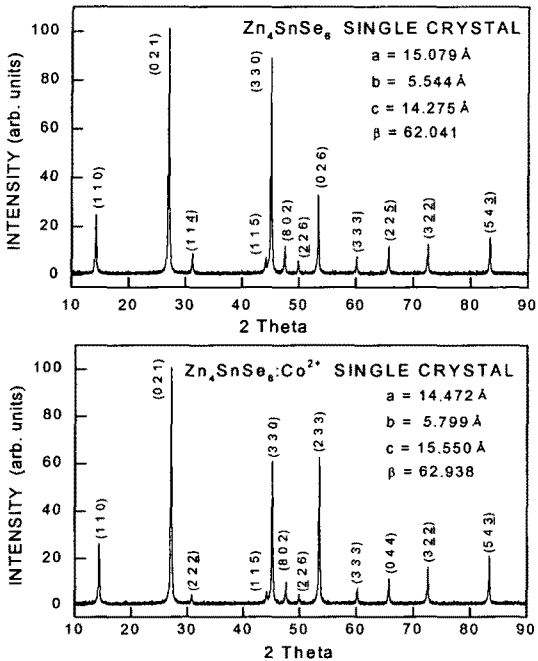


Fig. 1 X-ray diffraction patterns of Zn_4SnSe_6 and $Zn_4SnSe_6:Co^{2+}$ (0.5mole%) crystalline powders.

Zn_4SnSe_6 및 $Zn_4SnSe_6:Co^{2+}$ (0.5mole%) 단결정의 에너지 간격을 구하기 위하여 이들 단결정의 자연면에 평행하게 연마하여 만든 시료에서 측정한 광흡수 특성은 400~700nm 광장영역과 10K에서 300K까지의 온도범위에서 측정하였다. 그림 2와 그림 3에서 보여준 것 같이 기초 흡수단 영역에서 광흡수가 급격히 증가하고, 시료의 온도가 낮아질 때 단파장 영역으로 기초흡수단이 이동되었다. 불순물 cobalt를 첨가한 경우 순수한 경우보다 장파장쪽으로 이동되었다. Zn_4SnSe_6 및 $Zn_4SnSe_6:Co^{2+}$ (0.5mole%) 단결정에서 기초흡수단의 천이과정은 $k = (0, 0, 0)$ 점에서 Γ_7 대칭점에서 Γ_6 대칭점으로의 직접허용천이로 주어진다. 직접허용천이에서는 광흡수계수 α 와 광학적 에너지 띠(optical energy gap) E_g 의 band구조가 직접전형이므로, 직접전이형 반도체에서 성립하는 에너지 띠 (E_g)의 관계식[9]은 $(\alpha h\nu)^2 \sim (h\nu - E_g)$ 형태로 쓸 수 있다. 여기서 α 는 광흡수 계수이고, $h\nu$ 는 입사된 광전자(photon energy)이다. 식에서 $(\alpha h\nu)^2 = 0$ 인 점으로 와상하면, 에너지 밴드 캡이 주어지며, 이러한 와상법으로 구한 에너지 밴드 캡은 순수한 단결정의 경우는 300K에서는 2.146eV이며, 10K에서 2.438eV로 증가된다. cobalt를 첨가한 단결정의 경우는 300K에서는 2.042eV이면, 10K에서 2.240eV이었다. 이는 W.T.Kim[2]등에 의해서 발표한 Cd_4SnSe_6 및 $Cd_4SnSe_6:Co^{2+}$ 단결정 비교해보면 Zn_4SnSe_6 및 $Zn_4SnSe_6:Co^{2+}$ (0.5mole%) 단결정 에너지 띠 간격의 커

점을 알 수 있다. 또한 불순물 cobalt 첨가한 경우 때 간격 감소를 보여주고 있다.

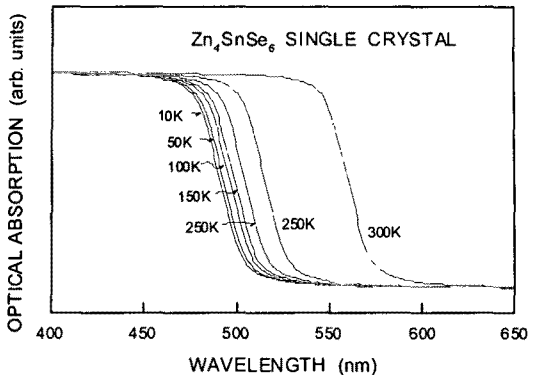


Fig. 2 Optical absorption spectra of Zn_4SnSe_6 single crystal near the fundamental absorption edge at 10K to 300K.

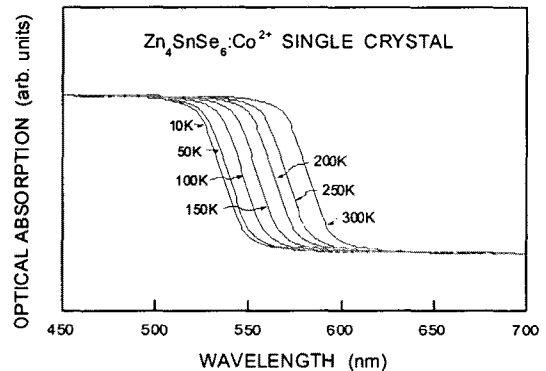


Fig. 3 Optical absorption spectrum of $Zn_4SnSe_6:Co^{2+}$ single crystal near the fundamental absorption edge at 10K to 300K.

이처럼 cobalt를 불순물로 첨가할 때 광학적 에너지 띠 간격이 감소하는 현상은 Sato 등[10]은 $CuAlSe_2$, $CuGaSe_2$ 에서 cobalt 불순물 첨가에 의한 띠 간격 감소를 donor-ionization threshold에 기인한 것으로 보고하고 있고,

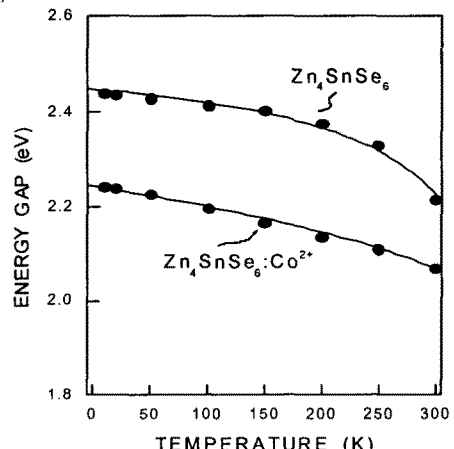


Fig. 4 Optical energy band gap of Zn_4SnSe_6 and $Zn_4SnSe_6:Co^{2+}$ single crystal at 10K to 300K.

또한, W. T. Kim[2]등은 불순물로 첨가된 cobalt가 총
만대 위에 acceptor 준위를 만들고, 이 acceptor 준위와
총만대단 사이의 간격이 좁아짐으로써, 광조사시 이
acceptor준위로부터 전자가 여기되기 때문에 나타나는
에너지 띠 감소현상으로 설명할 수 있기 때문에, 아직
명확하게 이론적으로 규명하지 못한 상태로 남아있다.
 Zn_4SnSe_6 단결정의 경우 Varshni 방정식의 상수는
 $E_g(0) = 2.439 \text{ eV}$, $\alpha = 4.079 \times 10^{-4} \text{ eV/K}$, $\beta = 63\text{K}$ 로
되고, cobalt를 첨가한 $Zn_4SnSe_6:Co^{2+}$ 단결정의 경우
Varshni 방정식의 상수는 $E_g(0) = 2.439 \text{ eV}$, $\alpha = 4.079$
 $\times 10^{-4} \text{ eV/K}$, $\beta = 63\text{K}$ 로 된다. 이 들 값은 Cd_4GeS_6 화합
물반도체에서 $\alpha = \sim \times 10^{-4} \text{ eV/K}$ 인 값과[14] 비교해 보면
유사한 값이다.

289K에서 $Zn_4SnSe_6:Co^{2+}$ 단결정의 광흡수 특성을 규명하기 위하여 500nm ~ 2200nm의 파장영역에서 측정한 광흡수 스펙트럼은 그림 5와 같이 기초흡수단 아래 714nm (13991cm^{-1}), 740nm (13498cm^{-1}) 파장영역에서 두개의 뚜렷한 피크와 1517nm (6589cm^{-1}), 1627nm (6146cm^{-1}), 1849nm (5407cm^{-1}) 파장영역에서 broad한 흡수 피크가 나타났다. 이들 광흡수 피크들은 $Zn_4GeSe_6:Co^{2+}$ [7] 및 $Cd_4SnSe_6:Co^{2+}$ [2] 단결정에서 관측된 Co^{2+} 이온의 광흡수 스펙트럼과 비슷한 특성을 보였으며, 이로부터 보면 T_d 대칭자리에 위치한 Co^{2+} 이온의 기저준위 ${}^4A_2({}^4F)$ 준위와 여기준위의 ${}^4T_1({}^4P)$ 및 ${}^4T_1({}^4F)$ 준위사이의 전자전이에 의한 것으로 해석된다.

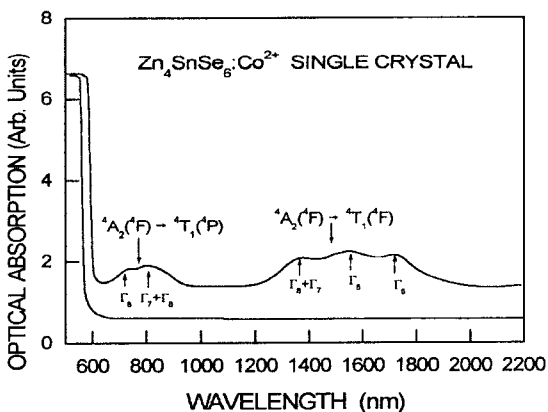


Fig. 5. Optical absorption spectra in $\text{Zn}_x\text{Sn}_y\text{Se}_z:\text{Co}^{2+}$ single crystals in the range of 500~\text{nm}~\text{--}~2200~\text{nm} at 289K.

714nm(13991cm⁻¹), 740nm(13498cm⁻¹) 피크들은 이들 피크들은 기저준위 Γ_8 [⁴A₂(⁴F)]와 여기준위 Γ_8 및 Γ_7 + Γ_8 [⁴T₁(⁴P)]준위 사이의 전자전이에 해당하는 Co²⁺ 이온의 ⁴A₂(⁴F)→⁴T₁(⁴P) 전이로 해석되며, 1517nm(6589cm⁻¹), 1627nm(6146cm⁻¹), 1849nm(5407cm⁻¹) 광장영역에서 판측된 3개의 뚜렷한 광흡수 피크는 기저준위 Γ_8 [⁴A₂(⁴F)]로부터 여기준위 Γ_8 + Γ_7 , Γ_8 , Γ_6 [⁴T₁(⁴F)]로의 전자전이에 의해 나타나는 흡수피크로 해석된다. 결정장 이론[15]을 도입하였다. 여기서, 결정장 상수 Dq는 325cm⁻¹, Racah 과라메타 B는 653cm⁻¹, 제1차 스펀-케도결합상수 λ 는 -197cm⁻¹로 계산되었다. 따라서 Zn₂SnSe₃:Co²⁺ 단결정에서 Co²⁺이온의 전자준위간이 전자전이에 의한 광흡수와 에너지준위의 분리는 그림 6과 같다.

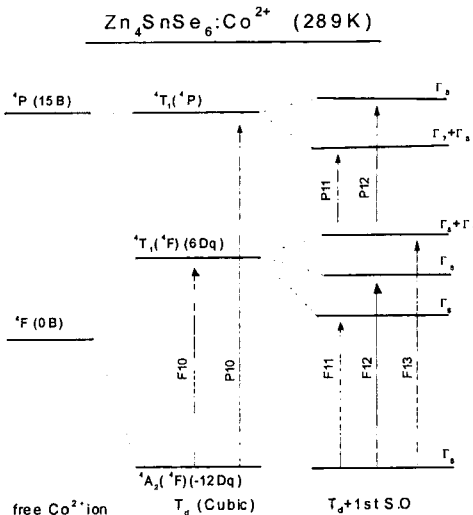


Fig. 6. Energy-level splitting and electron transitions of Co^{2+} ions in $\text{Zn}_4\text{SnSe}_6:\text{Co}^{2+}$ (0.5mole%) single crystals at 289K.

4. 결 론

화학수송법으로 Zn_4SnSe_6 및 $Zn_4SnSe_6:Co^{2+}(0.5\text{mole}\%)$ 단결정을 성장하였다. 성장된 단결정은 monoclinic 구조(공간군 Cc)이며, 격자상수는 순수한 결정인 Zn_4SnSe_6 단결정에서는 $a = 15.079\text{\AA}$, $b = 5.544\text{\AA}$, $c = 14.275\text{\AA}$ 이고 $\beta = 62.041^\circ$ 이었고, 불순물로 cobalt를 첨가한 $Zn_4SnSe_6:Co^{2+}(0.5\text{mole}\%)$ 단결정인 경우 격자상수는 $a = 14.472\text{\AA}$, $b = 5.799\text{\AA}$, $c = 15.550\text{\AA}$ 이고 $\beta = 62.938^\circ$ 으로 주어졌다. 광흡수 스펙트럼으로부터 구한 energy band gap은 289K에서 순수한 단결정의 경우는 2.146eV 이었으며, cobalt를 첨가한 단결정의 경우는 2.042eV이었다. $Zn_4SnSe_6:Co^{2+}$ 단결정에서 cobalt 불순물에의한 광흡수는 $71.4\text{nm}(13991\text{cm}^{-1})$, $740\text{nm}(13498\text{cm}^{-1})$, $1517\text{nm}(6589\text{cm}^{-1})$, $1627\text{nm}(6146\text{cm}^{-1})$, $1849\text{nm}(5407\text{cm}^{-1})$ 에서 피크가 나타났으며, 이들 $Zn_4SnSe_6:Co^{2+}$ 단결정의 T_d 대칭차리에 위치한 Co^{2+} 이온의 에너지 전자전이에 의한 광흡수이다.

(참 고 문 헌)

- [1] R. Kitsche, "The growth of single crystals of binary and ternary chalcogenides by chemical transport reactions", J. Phys. Chem. Solids 17, pp.163-165, 1960.
 - [2] 한석용, 김화택, "Cd₄SnSe₆ 및 Cd₄SnSe₆:Co²⁺ 단결정의 광학적 특성 연구", 한국진공학회지, Vol 2. No. 4. pp.299~303, 1993.
 - [3] M. Nitta, H. Kawashima and M. Haradom, "Optical properties of Cd₄SiSe", Oyo Buturi 40, pp.158-162, 1971.
 - [4] D. T. Kim, Ph. D Thesis, "Cd₄GeSe₆ 및 Cd₄GeSe₆:Co²⁺ 단결정의 광학적 특성 연구", Won Kwang University, 1992.
 - [5] P. Quenez and P. Khodadad, "Etude de systeme GeSe₂-CdSe Identification of compose Cd₄GeSe₆", C.R.Acad. Sc. Paris. 268. pp.2294, 1969
 - [6] J. J. Pankove, "Optical Processes in Semiconductors", (Dover Pub. Co. New York), pp.36~37, 1971.

- [7] D. T. Kim, "Zn₄GeSe₆ 및 Co²⁺를 첨가한 Zn₄GeSe₆:Co²⁺ 단결정의 광학적 특성" 전기전자재료 학회, Vol 10. No. 2. pp105~112, 1997.
- [8] C. D. Thurmond, J. Electro Chem. Soc, "The Standard Thermodynamic Functions for the formation of Electrons and holes in Ge, Si, GaAs and GaP", J. Electrochem. Soc., Solid-State Science and Tec. 122, pp.1135, 1975.
- [9] D. T. Kim et, "Optical Absorption Spectra of undoped and Co-doped Cd₄GeSe₆ Single Crystals", J. Mat. Sct. Lett 12, pp.1160, 1993.
- [10] A. N. Georgobiani, S. I. Radautsan and I. M. Tiginyanu, "Sov. Phys. Semicond", 19(2), pp.121, 1985.
- [11] S. K. Oh, W. T. Kim , M. J. Jin, S. H. Choe, C. D. Kim, and C. S. Yoon, "Optical properties of CdAl₂S₄, CdAl₂S₄:Co²⁺ and CdAl₂S₄:Er³⁺ Single Crystals", J. Kor. Phys. Soc. 31(4), pp.681, 1997
- [12] J. B. Nelson and D. P. Riley, "An Experimental Investigation of Extrapolation Methods in The Derivation of Accurate unit-cell Dimensions of Crystals", Proc. Phys. Soc. (London) 57, pp.160, 1945.
- [13] K. Sato et al, Proc. of th 7th Int. Con. on Ternary and Multinary Compounds, Snowmass (MRS, Pittsburgh, 1987) pp.459, 1986.
- [14] D. T. Kim , "Cobalt을 첨가한 Cd₄GeSe₆ 단결정에서 Energy Gap의 온도의존성 및 열역학적 함수 추정" 전기전자재료학회, Vol 11. No. 9. pp.693~699, 1998.
- [15] S. Sugano, Y. Tanabe and H. Kamimura, "Multiplets of transition - metal - ions in crystals", Academic Press, New York, 1970.